



中华人民共和国国家标准

GB/T 31364—2015

能量色散 X 射线荧光 光谱仪主要性能测试方法

Test methods for main performance of
energy dispersive X-ray fluorescence spectrometer



2015-02-04 发布

2015-09-01 实施

中华人民共和国国家质量监督检验检疫总局
中国国家标准化管理委员会发布

目 次

| | |
|--|-----|
| 前言 | III |
| 引言 | IV |
| 1 范围 | 1 |
| 2 规范性引用文件 | 1 |
| 3 术语和定义 | 1 |
| 4 基本要求 | 2 |
| 5 性能测试方法 | 3 |
| 附录 A (资料性附录) 常用靶材元素及其 K 系特征 X 射线能量 | 7 |
| 附录 B (资料性附录) 常见元素及其 K 系特征 X 射线能量 | 8 |
| 参考文献 | 9 |

前　　言

本标准按照 GB/T 1.1—2009 给出的规则起草。

本标准由全国核仪器仪表标准化技术委员会(SAC/TC 30)提出。

本标准由核工业标准化研究所归口。

本标准起草单位:四川材料与工艺研究所、江苏天瑞仪器股份有限公司、成都理工大学、核工业标准化研究所、中国工程物理研究院、江西纳优科技有限公司。

本标准主要起草人:杨明太、姚栋樑、方方、吴伦强、肖晨、杨萍、周建斌、杨锁龙、杨李锋。

引　　言

能量色散 X 射线荧光光谱仪是以较高能量的射线束或粒子流激发试样中元素的特征 X 射线,用能量探测器直接测量受激元素的特征 X 射线的能量和强度,实现定性、定量分析的仪器。它主要用于冶金、地质、矿物、石油、化工、生物、医疗、商检、刑侦、考古等行业和领域。

能量色散 X 射线荧光光谱仪的基本构成如下:

- 高压发生器(高压电源);
- X 射线管或激发源;
- X 射线能量探测器;
- 脉冲放大器;
- 多道脉冲分析器、数据处理和输出设备。

制定本标准的目的在于:

- 规范能量色散 X 射线荧光光谱仪主要性能测试方法,促进产业的进步和发展;
- 为产品的合同订立和产品交易提供技术支持,保障供货方和使用方的权益;
- 有利于测量结果及其表述的统一,具有可比性。

能量色散 X 射线荧光 光谱仪主要性能测试方法

1 范围

本标准规定了能量色散 X 射线荧光光谱仪的能量非线性、峰背比、最大线性计数率、能量分辨率、重复性、不稳定性和检出限的测试方法。

本标准适用于管激发能量色散 X 射线荧光光谱仪主要性能的测试,其他能量色散型 X 射线荧光光谱仪亦可参照使用。

2 规范性引用文件

下列文件对于本文件的应用是必不可少的。凡是注日期的引用文件,仅注日期的版本适用于本文件。凡是不注日期的引用文件,其最新版本(包括所有的修改单)适用于本文件。

GB/T 4960.6—2008 核科学技术术语 第 6 部分:核仪器仪表

3 术语和定义

GB/T 4960.6—2008 界定的以及下列术语和定义适用于本文件。

3.1

X 射线荧光光谱仪 X-ray fluorescence spectrometer

以较高能量的射线束或粒子流激发试样中元素的特征 X 射线,将各元素特征谱线分辨并对其强度进行测量,实现定性、定量分析的仪器。

3.2

能量色散 X 射线荧光光谱仪 energy dispersive X-ray fluorescence spectrometer

用能量探测器直接分辨试样中元素的特征谱线的 X 射线荧光光谱仪。

3.3

背景 background

特征 X 射线能峰以外的谱响应。

3.4

死时间 dead time

多道分析器接受单个输入信号后不能再接受其他输入信号的时间间隔。

[GB/T 4833.1—2007, 定义 3.32]

3.5

总死时间 total dead time

在测量时间内,死时间的总和。

[GB/T 4833.1—2007, 定义 3.33]

3.6

实时间 real time

多道分析器获取脉冲幅度分布数据所消逝的实际测量时间。

[GB/T 4833.1—2007, 定义 3.35]

3.7

百分死(忙)时间 percent dead(busy) time

总死时间与实时间的比值,用百分数表示。

[GB/T 4833.1—2007, 定义 3.36]

3.8

峰位 peak position

在脉冲幅度谱中一个峰(谱线)的矩心处的能量或等效量。

[GB/T 11685—2003, 定义 3.18]

3.9

能量非线性 energy non-linearity

在一定能量范围内,实测能量相对于标称能量的偏离程度,用百分数(%)表示。

3.10

峰背比 peak-to-background ratio

在单元素试样特征 X 射线能谱上,特征峰计数与其背景计数之比。

3.11

最大线性计数率 maximum linearity count rate

保持计数率线性的最大计数率,用计数每秒(s^{-1})表示。

3.12

半高宽 full width at half maximum; FWHM

在单峰构成的分布曲线上,峰值一半处曲线上两点的横坐标间的距离。

[GB/T 4960.6—2008, 定义 3.2.27]

3.13

峰面积 peak area

能谱峰构成的分布区间内的总计数。

注:本标准的峰面积规定为以峰位道为中心两边各取一个半高宽的区间内的总计数。

3.14

能量分辨率 energy resolution

谱仪区分相近能量的能力,用特定元素特征能峰的半高宽(FWHM)表示。

注: FWHM 与峰位道之比为能量分辨率 R。

3.15

重复性 repeatability

在同样的测量条件下,对同一被测物理量连续测量结果的一致程度,用相对标准偏差(RSD)表示。

[GB/T 4960.6—2008, 定义 3.4.38]

3.16

不稳定性 instability

在相同测量条件下,对同一测量对象进行多次测量,其测量结果随时间的变化程度。

3.17

检出限 limit of detection; LOD

在一定的置信水平内,可以从样品中检测待测元素的最小浓度或最小量,以微克每克($\mu\text{g/g}$)表示。

4 基本要求

4.1 环境条件

4.1.1 环境温度:5 ℃~30 ℃,室外或移动式谱仪按其实际工作的温度。

- 4.1.2 相对湿度：不大于 85%，室外或移动式谱仪按其实际工作的相对湿度。
- 4.1.3 电源电压：交流电压 220 V±22 V，室外或移动式谱仪按随机自备电源的电压。
- 4.1.4 电源频率：50 Hz±1 Hz，室外或移动式谱仪按随机自备电源的频率。

4.2 测试要求

- 4.2.1 对于需要致冷的探测器，应按仪器使用要求提前致冷。
- 4.2.2 X 射线管工作电压一般不低于 30 kV，常用靶材元素及其 K 系特征 X 射线能量参见附录 A。
- 4.2.3 测试时，百分死时间应控制在一定范围，例如小于 10%。
- 4.2.4 测试能峰面积一般不小于 1.0×10^6 计数。

4.3 测试样品

- 4.3.1 多元素混合片：称取三氧化二铝（ Al_2O_3 ，化学纯）粉末 2 g、氧化钙（ CaO ，化学纯）粉末 1 g、二氧化锰（ MnO_2 ，化学纯）粉末 0.5 g、氧化铜（ CuO ，化学纯）粉末 0.5 g、三氧化二钇（ Y_2O_3 ，化学纯）粉末 0.5 g 和氧化银（ Ag_2O ，化学纯）粉末 0.5 g，混匀，硼酸衬底，压制而成 $\Phi 20\text{ mm} \sim \Phi 40\text{ mm}$ 的圆片。
- 4.3.2 二氧化锰片：称取二氧化锰（ MnO_2 ，化学纯）粉末 5 g，硼酸衬底，压制而成 $\Phi 20\text{ mm} \sim \Phi 40\text{ mm}$ 的圆片。
- 4.3.3 铜片：金属铜（Cu），直径 $\Phi 20\text{ mm} \sim \Phi 40\text{ mm}$ ，厚度 2 mm～3 mm，铜含量不低于 99.8%。

5 性能测试方法

5.1 能量非线性

- 5.1.1 置多元素混合片于样品分析室，按 4.2 的测试要求测量多元素混合片特征谱。
- 5.1.2 读取 AlK_{α} 、 CaK_{α} 、 MnK_{α} 、 YK_{α} 和 AgK_{α} 峰位对应道址。
- 5.1.3 用最小二乘法对 AlK_{α} 、 CaK_{α} 、 MnK_{α} 、 YK_{α} 和 AgK_{α} 能量（参见附录 A 和附录 B）与相应能峰道址进行线性拟合。获得能量-道址线性关系式(1)：

$$E = aX + b \quad \dots \dots \dots (1)$$

式中：

- E ——拟合的特征峰能量值，单位为千电子伏特(keV)；
 a ——拟合系数，单位为千电子伏特每道(keV/ch)；
 X ——峰位对应道址，单位为道(ch)；
 b ——线性拟合截距，单位为千电子伏特(keV)。

- 5.1.4 用式(2)求解 CuK_{α} 的能量非线性(D_E)，即实测能量 E_i 与其拟合能量 E_{i0} 的最大相对偏差：

$$D_E = \frac{|E_i - E_{i0}|_{\max}}{E_{\max}} \times 100\% \quad \dots \dots \dots (2)$$

式中：

- D_E ——能量非线性偏差，%；
 E_i ——实测能量值，单位为千电子伏特(keV)；
 i ——测量点序号，等于 1, 2, 3……；
 E_{i0} ——式(1)中对应实测点的拟合能量值，单位为千电子伏特(keV)；
 E_{\max} ——能量的最大值，单位为千电子伏特(keV)。

5.2 峰背比

- 5.2.1 置二氧化锰片于样品分析室，按 4.2 测试要求测量二氧化锰片特征谱，重复测量 3 次。

附录 A
(资料性附录)
常用靶材元素及其 K 系特征 X 射线能量

表 A.1 给出了 X 射线管常用靶材元素及其 K 系特征 X 射线能量。

表 A.1 常用靶材元素及其 K 系特征 X 射线能量 单位为千电子伏特(keV)

| 元素 | $K_{\alpha b}$ | $K_{\alpha 3}$ | $K_{\alpha 2}$ | $K_{\alpha 1}$ | $K_{\beta 2}$ | $K_{\beta 1}$ | $K_{\beta 4}$ | $K_{\beta 3}$ | $K_{\beta 5}$ |
|--|----------------|-----------------------|----------------------|-------------------|----------------------|----------------------|---------------------|---------------------|---------------------|
| Ti | 4.966 | 4.405 10 (0.040 3) | 4.505 80 (50.231) | 4.512 20 (100) | | 4.933 40 (20.684) | | 4.964 00 (0.104) | |
| Cr | 5.989 | 5.293 00 (0.043 9) | 5.405 20 (50.456) | 5.414 90 (100) | | 5.946 80 (21.088) | | 5.987 00 (0.113) | |
| Ni | 8.333 | 7.324 40 (0.051 2) | 7.463 00 (50.883) | 7.480 30 (100) | 8.265 00 (7.472) | 8.266 80 (14.424) | | 8.329 00 (0.132) | |
| Zn | 9.659 | 8.462 80 (0.054 9) | 8.614 10 (51.098) | 8.637 20 (100) | 9.567 60 (7.609) | 9.570 40 (14.690) | 9.648 80 (0.142) | 9.648 80 (0.142) | |
| Y | 17.038 | 14.665 0 (0.071 4) | 14.882 0 (52.094) | 14.958 0 (100) | 16.727 4 (8.229) | 16.739 2 (15.887) | 16.880 3 (0.184) | 17.014 (3.350) | |
| Zr | 17.998 | 15.466 0 (0.073 2) | 15.691 0 (52.210) | 15.775 0 (100) | 17.654 5 (8.298) | 17.668 2 (16.020) | 17.816 9 (0.189) | 17.969 5 (3.700) | |
| Mo | 20.000 | 17.134 0 (0.076 9) | 17.375 0 (52.445) | 17.480 0 (100) | 19.588 4 (8.436) | 19.606 0 (16.286) | 19.768 9 (0.198) | 19.962 4 (4.100) | |
| Rh | 23.220 | 19.808 0 (0.082 4) | 20.074 0 (52.808) | 20.216 0 (100) | 22.698 7 (8.643) | 22.723 5 (16.685) | 22.908 1 (0.212) | 23.169 5 (4.650) | 23.218 0 (0.059) |
| Ag | 25.514 | 21.708 0 (0.086 0) | 21.990 0 (53.059) | 22.163 0 (100) | 24.910 2 (8.781) | 24.941 0 (16.951) | 25.140 0 (0.222) | 25.450 3 (5.050) | 25.510 0 (0.062) |
| W | 69.525 | 57.425 0 (0.043 4) | 57.981 0 (57.472) | 59.318 0 (100) | 66.950 0 (11.273) | 67.244 0 (21.740) | 67.653 0 (0.504) | 69.034 6 (8.600) | 69.269 1 (0.128) |
| 注 1：表中 $K_{\alpha b}$ 为 K 壳层电子吸收限。 注 2：括号内数值为相对于 $K_{\alpha 1}$ 的相对强度(%)。 | | | | | | | | | |

附录 B
(资料性附录)
常见元素及其 K 系特征 X 射线能量

表 B.1 给出了在能量色散 X 射线荧光光谱分析中常见元素及其 K 系特征 X 射线能量。

表 B.1 常见元素及其 K 系特征 X 射线能量

单位为千电子伏特(keV)

| 元素 | $K_{\alpha 1}$ | $K_{\alpha 2}$ | $K_{\alpha 3}$ | $K_{\beta 1}$ | $K_{\beta 2}$ | $K_{\beta 3}$ | $K_{\beta 4}$ | $K_{\beta 5}$ |
|----|----------------|-----------------------|-----------------------|-------------------|----------------------|----------------------|---------------------|---------------------|
| Al | 1.559 | 1.441 20 (0.023 8) | 1.486 10 (50.200) | 1.486 50 (100) | | 1.557 00 (18.867) | | |
| Si | 1.839 | 1.689 30 (0.025 6) | 1.739 20 (50.200) | 1.739 80 (100) | | 1.837 00 (19.069) | | |
| Ca | 4.039 | 3.600 10 (0.036 6) | 3.688 80 (50.200) | 3.692 30 (100) | | 4.013 10 (20.180) | | |
| Ti | 4.966 | 4.405 10 (0.040 3) | 4.505 80 (50.231) | 4.512 20 (100) | | 4.933 40 (20.674) | 4.964 00 (0.104) | |
| V | 5.465 | 4.838 30 (0.042 1) | 4.945 20 (50.349) | 4.952 90 (100) | | 5.427 80 (20.886) | | 5.463 00 (0.109) |
| Cr | 5.989 | 5.293 00 (0.043 9) | 5.405 20 (50.456) | 5.414 90 (100) | | 5.946 80 (21.088) | | 5.987 00 (0.113) |
| Mn | 6.539 | 5.769 90 (0.045 7) | 5.889 10 (50.563) | 5.900 30 (100) | | 6.491 80 (21.230) | | 6.537 00 (0.118) |
| Fe | 7.112 | 6.267 40 (0.047 6) | 6.392 10 (50.669) | 6.405 20 (100) | | 7.059 30 (21.492) | | 7.110 00 (0.123) |
| Co | 7.709 | 6.783 90 (0.049 4) | 6.915 80 (50.776) | 6.930 90 (100) | | 7.649 10 (21.694) | | 7.706 00 (0.127) |
| Ni | 8.333 | 7.324 40 (0.051 2) | 7.463 00 (50.883) | 7.480 30 (100) | 8.265 00 (7.472) | 8.266 80 (14.424) | | 8.329 00 (0.132) |
| Cu | 8.979 | 7.882 30 (0.053 1) | 8.026 73 (50.990) | 8.046 30 (100) | 8.901 70 (7.541) | 8.903 90 (14.557) | | 8.974 00 (0.137) |
| Zn | 9.659 | 8.462 80 (0.054 9) | 8.614 10 (51.098) | 8.637 20 (100) | 9.567 60 (7.609) | 9.570 40 (14.690) | | 9.648 80 (0.142) |
| Ge | 11.103 | 9.688 40 (0.058 6) | 9.854 90 (51.314) | 9.886 00 (100) | 10.978 1 (7.747) | 10.982 2 (14.956) | | 11.073 2 (0.151) |
| Nb | 18.986 | 16.288 0 (0.075 0) | 16.521 0 (52.326) | 16.615 0 (100) | 18.609 9 (8.367) | 18.625 4 (16.153) | 18.781 0 (0.194) | 18.953 4 (3.900) |
| Pd | 24.350 | 20.746 0 (0.084 2) | 21.020 0 (52.933) | 21.177 0 (100) | 23.790 1 (8.712) | 23.817 7 (16.818) | 24.009 5 (0.217) | 24.294 3 (4.800) |
| Ag | 25.514 | 21.708 0 (0.086 0) | 21.990 0 (53.059) | 22.163 0 (100) | 24.910 2 (8.781) | 24.941 0 (16.951) | 25.140 0 (0.222) | 25.450 3 (5.050) |
| Au | 80.725 | 66.372 0 (0.069 9) | 66.991 0 (58.5 72) | 68.806 0 (100) | 77.577 0 (11.668) | 77.982 0 (22.477) | 78.434 0 (0.602) | 80.082 3 (9.350) |
| | | | | | | | | 80.371 8 (0.170) |

参 考 文 献

- [1] GB/T 4833.1—2007 多道分析器 第1部分:主要技术要求与试验方法
- [2] GB/T 11685—2003 半导体X探测器系统和半导体X射线能谱仪的测量方法
- [3] GB 18871—2002 电离辐射防护与辐射源安全基本标准
- [4] AS 2563—1996 Wavelength dispersive X-ray fluorescence spectrometers—Determination of precision
- [5] JJG 810—1993 波长色散X射线荧光光谱仪检定规程
- [6] GB/T 8993—1998 核仪器环境条件与试验方法
- [7] W.T.Elam,B.D.Ravel and J.R.Sieber,A new atomic database for X-ray spectroscopic calculations,Radiation Physics and Chemistry 63(2002) 121-128





中华人民共和国

国家标准

能量色散 X 射线荧光

光谱仪主要性能测试方法

GB/T 31364—2015

*

中国标准出版社出版发行

北京市朝阳区和平里西街甲 2 号(100029)

北京市西城区三里河北街 16 号(100045)

网址 www.spc.net.cn

总编室:(010)64275323 发行中心:(010)51780235

读者服务部:(010)68523946

中国标准出版社秦皇岛印刷厂印刷

各地新华书店经销

*

开本 880×1230 1/16 印张 1 字数 21 千字

2015 年 3 月第一版 2015 年 3 月第一次印刷

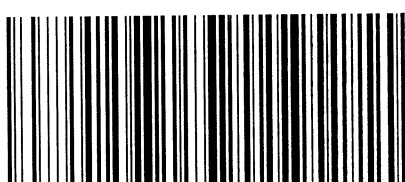
*

书号: 155066 · 1-51251 定价 18.00 元

如有印装差错 由本社发行中心调换

版权专有 侵权必究

举报电话:(010)68510107



GB/T 31364-2015